

## مطالعه‌ی عددی حدود خاموشی و ساختار شعله‌ی نفوذی جریان مخالف $H_2/O_2$ در حضور

\*رقیق کننده‌های Ar و He

جواد خادم<sup>(۱)</sup>

علی اسدی<sup>(۲)</sup>

**چکیده** شعله‌های جریان مخالف نفوذی آرام اطلاعات مفیدی را درباره‌ی ویژگی‌های اساسی احتراق غیرپیش‌آمیخته فراهم می‌کنند. مطالعات زیادی روی شعله‌های نفوذی جریان مخالف  $O_2/H_2$  انجام شده است. اکثر مطالعات قبلی شامل سیستم‌های رقیق‌کننده یا هیدروژن رقیق‌کننده با  $CO_2$  یا  $N_2$  در مقابل جریان اکسید کننده است که در شرایط مختلف از قبیل نرخ‌های کرنش، فشارها و دماهای ورودی بررسی شده است. هدف اصلی در این تحقیق بررسی حدود خاموشی شعله و چگونگی تغییر دما در برابر نرخ کرنش است. اثر گازهای Ar و نیز He به عنوان رقیق‌کننده بر احتراق  $H_2/O_2$  و حدود خاموشی آن بررسی شده است. برای شبیه‌سازی از کد عددی OPPDIF از نرم‌افزار CHEMKIN استفاده شده است. انطباق خوب نتایج عددی کار حاضر با نتایج سایر محققان، دقت بالای حل عددی را نشان می‌دهد. افزایش درصد رقیق‌کننده کاهش ماکریم دما و ماکریم کسر مولی رادیکال‌های فعال H و OH را منجر می‌شود. کاهش تولید رادیکال H باعث می‌شود که سوخت کمتر تحت تأثیر این گونه قرار گرفته و در نتیجه در سمت اکسید کننده بیشتر نفوذ کند. افزایش درصد رقیق‌کننده باعث کاهش هر دو حد بالا و پایین خاموشی در احتراق هیدروژن می‌شود و حدود اشتعال پذیری باریک‌تر می‌گردد. اما افزایش دمای جریان‌های ورودی و فشار محیط، حدود اشتعال پذیری را گستردۀ تر می‌کند.

**واژه‌های کلیدی** شعله‌های جریان مخالف، شعله‌های نفوذی، حدود خاموشی، رقیق‌کننده، عددی.

## The Numerical Study of Extinction Limits and Structure of $H_2/O_2$ Counterflow Diffusion Flame with Ar and He Dilution

A. Asadi

J. Khadem

**Abstract** Laminar counterflow diffusion flames provide useful information about basic properties of non-premixed combustion. A lot of studies have been performed on  $H_2/O_2$  counterflow. Most of previous studies include undiluted or diluted systems of hydrogen (with  $CO_2$  or  $N_2$ ) against an air flow under a variety of conditions such as strain rates, inlet temperature and pressure. The main purpose of this research is to investigate the extinction limits and also to see how the temperature changes against the strain rate. The effect of Ar and He gases as diluents on combustion and extinction limits of  $H_2/O_2$  is also investigated. Numerical simulations have been done with the OPPDIF code from CHEMKIN software. The obtained numerical results are compared with the others results and show the accuracy of numerical solution. Increasing the diluent percent causes decreasing of the maximum temperature and also the maximum mole fraction of active radicals of H and OH. Decreasing of producing H radical causes the fuel be slightly influenced by this species and thus the fuel diffuses more to oxide side. Increasing the diluent percent also causes decreasing of blow off and quenching limits in hydrogen combustion and accordingly narrows the flammability; But the increasing of inlet temperature flows and ambient pressure extend the flammability limits.

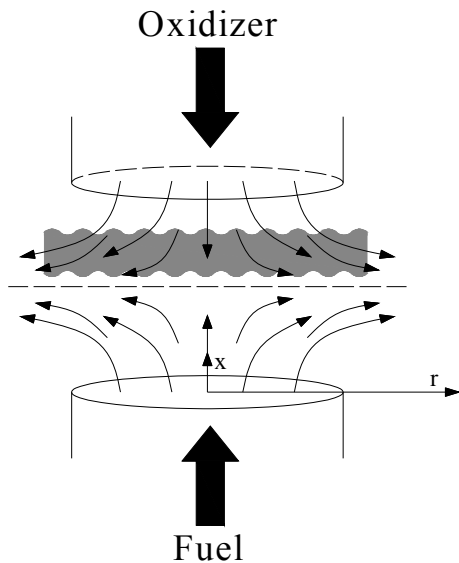
**Key Words** Counterflow Flames, Diffusion Flames, Extinction Limits, Diluent, Numerical

\* تاریخ دریافت مقاله ۹۰/۱۲/۲۴ و تاریخ پذیرش آن ۹۲/۲/۲۹ می‌باشد.

(۱) دانشجوی کارشناسی ارشد، گروه مهندسی مکانیک، دانشکده مهندسی، دانشگاه بیرجند

(۲) نویسنده‌ی مسؤول: استادیار، گروه مهندسی مکانیک، دانشکده مهندسی، دانشگاه بیرجند

همکارانش انجام شده است [5]. در مطالعه آنها تولید قابل توجه OH مشاهده شد که به خاطر اثرات شیمیابی بخار آب می‌باشد. همچنین انتشار NO در ساز و کار حرارتی کاهش یافت.



شکل ۱ هندسه‌ی متقارن محوری جریان مخالف نفوذی

در کار حاضر شبیه‌سازی احتراق هیدروژن با استفاده از مدل جریان مخالف نفوذی در حضور رقیق‌سازهای Ar و He انجام شده است. گاز Ar، هوا را از ناحیه‌ی احتراق بیرون می‌راند و از اکسید شدن نازل‌ها و قطعات درگیر با احتراق جلوگیری می‌کند. گاز He دارای ویژگی‌های یکتایی از قبیل نقطه‌ی جوش، چگالی و حل شوندگی پایین، رسانش گرمایی بالا و واکنش‌ناپذیری می‌باشد که در بسیاری از کاربردها به آن نیاز است. گاز He به دلیل ویژگی واکنش ناپذیری، به عنوان یک گاز محافظ نیز استفاده می‌شود و ویژگی‌هایی نزدیک به گاز ایده‌آل دارد. لذا استفاده‌ی همزمان از گاز Ar و He به عنوان رقیق‌کننده، نتایج قابل توجهی را در پی دارد و باعث افزایش بازده احتراق و خروج بـهتر گازها از محدوده‌ی احتراق

## مقدمه

تئوری شعله‌ی نفوذی جریان مخالف از سال‌ها پیش مورد بررسی قرار گرفته است. شعله‌ی جریان مخالف، ناحیه‌ی برخورد دو جت مختلف‌الجهت پایدار سوخت و اکسید کننده است. به علت سرعت متغیر در دهانه‌ی مشعل و سایر تأثیرات فرعی، اغلب شعله‌ها صاف (تحت) نیستند. در مدل گفته شده که بر اساس برخورد دو جت گاز جریان مخالف به یک باریکه‌ی شعله است، صفحه‌ی تحت شعله عمود بر محور نازل است که این در شکل (۱) نشان داده شده است.

مطالعات زیادی روی شعله‌های جریان مخالف Air/H<sub>2</sub>/Air انجام شده است. اخیراً ریرت و همکارانش [1] مطالعات عددی موجود در این زمینه را جمع‌آوری کرده‌اند. مطالعه‌ی عددی روی شعله‌ی نفوذی جریان مخالف H<sub>2</sub>/Air رقیق‌شده با CO<sub>2</sub> در دمای اتاق توسط پارک و همکارانش [2] انجام شده است.

اثر رقیق‌ساز CO<sub>2</sub> بر شعله‌ی جریان مخالف نفوذی H<sub>2</sub>/O<sub>2</sub> در شرایط مختلف شامل دمای ورودی، فشار و سطح مختلف رقیق‌سازی با CO<sub>2</sub> بررسی شده است [3]. در مطالعه‌ی آنها اثر افزایش CO<sub>2</sub> به صورت کاهش دمای بـی دررو شعله و نیز کاهش انتشار NO<sub>x</sub> نمایان شده است. همچنین با افزایش فشار محیط، دمای بـی دررو شعله افزایش و ضخامت شعله کاهش می‌باید.

بررسی ساختار شعله و انتشار NO در شعله‌های جریان مخالف غیرپیش‌آمیخته‌ی H<sub>2</sub>/Air رقیق‌شده با CO<sub>2</sub> در مقاله‌ی [4] ارائه شده است. در تحقیق آنها تغییرات دمای ماکزیمم در برابر دمای اکسید کننده بررسی شده است. افزایش دمای اکسید کننده باعث افزایش ماکزیمم دما می‌شود، اما افزایش رقیق‌ساز CO<sub>2</sub> ماکزیمم دما را کاهش می‌دهد.

مطالعه‌ی عددی روی ساختار شعله و انتشار NO روی محدوده‌ی وسیعی از دما در شعله‌های آرام H<sub>2</sub>/Air رقیق‌شده با بخار آب توسط ماروتی و

به صورت زیر هستند:

$$\frac{\partial}{\partial x}(\rho u u r) + \frac{\partial}{\partial r}(\rho v u r) = \frac{\partial}{\partial r}(r \tau_{rx}) + r \frac{\partial \tau_{xx}}{\partial x} - r \frac{\partial p}{\partial x} + \rho g_x r \quad (7)$$

$$\frac{\partial}{\partial x}(\rho u v r) + \frac{\partial}{\partial r}(\rho v v r) = \frac{\partial}{\partial r}(r \tau_{rr}) + r \frac{\partial \tau_{rx}}{\partial x} - r \frac{\partial p}{\partial r} \quad (8)$$

که در آن  $\tau_{rr} = \mu \left[ 2 \frac{\partial v}{\partial r} - \frac{2}{3} (\nabla \cdot V) \right]$  و  $\tau_{xx} = \mu \left[ 2 \frac{\partial u}{\partial x} - \frac{2}{3} (\nabla \cdot V) \right]$  و  $\tau_{rx} = \mu \left[ 2 \frac{\partial u}{\partial r} + \frac{\partial v}{\partial x} \right]$  است. با ساده‌سازی و نوشتن معادلات بر حسب توابع F و G نتیجه می‌شود:

$$\frac{d}{dx} \left[ \frac{F^2}{\rho} - \mu \frac{d}{dx} \left( \frac{F}{\rho} \right) \right] + \frac{1}{2} \mu \frac{d}{dx} \left( \frac{G}{\rho} \right) - \frac{FG}{\rho} + \frac{1}{4} \left( \frac{\partial P}{\partial x} - \rho g_x \right) = 0 \quad (9)$$

$$H - 2 \frac{d}{dx} \left( \frac{FG}{\rho} \right) + \frac{3G^2}{\rho} + \frac{d}{dx} \left[ \mu \frac{d}{dx} \left( \frac{G}{\rho} \right) \right] = 0 \quad (10)$$

که در آن

$$H = \frac{1}{r} \frac{\partial P}{\partial r} = \text{const.} \quad (11)$$

نرخ کرنش که معیاری از سرعت جریان‌های ورودی و فاصله‌ی بین دو نازل است، به شکل زیر تعریف می‌شود [9]:

$$\text{strain rate} = \frac{2V_{OX}}{L} \left( 1 + \frac{V_f \sqrt{\rho_f}}{V_{OX} \sqrt{\rho_{OX}}} \right) \quad (12)$$

در این رابطه  $V_f$ ,  $\rho_{OX}$ ,  $\rho_f$  و L به ترتیب چگالی سوخت، چگالی اکسیدکننده، سرعت سوخت، سرعت اکسیدکننده و فاصله‌ی بین دو نازل است. معادلات انرژی و بقای گونه‌ها به شکل زیر می‌باشند:

$$\rho u \frac{dT}{dx} - \frac{1}{C_p} \frac{d}{dx} \left( \lambda \frac{dT}{dx} \right) + \frac{\rho}{C_p} \sum_k C_{pk} Y_k V_k \frac{dT}{dx} +$$

می‌شود. در این مقاله، اثر رقیق‌کننده بر دمای احتراق و تولید گونه‌های H و OH بررسی گردیده و هم‌چنین اثر رقیق‌کننده بر حدود خاموشی شعله مورد مطالعه قرار گرفته است. در این پژوهش، ساز و کار شیمیایی دربر و همکاران [7] که شامل ۲۵ واکنش برگشت‌پذیر و ۶ گونه است، به عنوان ساز و کار احتراق هیدروژن انتخاب شده است.

### مدل‌سازی ریاضی و معادلات حاکم

معادلات حاکم برای هندسه‌ی جریان مخالف نفوذی که در شکل (۱) نشان داده شده است، به شرح زیر است [8]:

معادله‌ی بقای جرم:

$$\frac{\partial}{\partial x}(\rho u) + \frac{1}{r} \frac{\partial}{\partial r}(\rho v r) = 0 \quad (1)$$

که در آن u و v مؤلفه‌های سرعت محوری و شعاعی و p چگالی سیال می‌باشد. با استفاده از تعریف تابع جریان  $\psi$  به شکل زیر داریم:

$$\psi(r, x) = r^2 F(x) \quad (2)$$

لذا:

$$\rho u r = \frac{\partial \psi}{\partial r} = 2r F(x) \quad (3)$$

$$-\rho v r = \frac{\partial \psi}{\partial x} = r^2 \frac{dF(x)}{dx} \quad (4)$$

در نتیجه:

$$\frac{dF(x)}{dx} = -\frac{\rho v}{r} \quad \text{and} \quad F(x) = \frac{\rho u}{2} \quad (5)$$

که در آن  $\frac{v}{r}$  و p فقط توابعی از x هستند. تابع  $G(x)$  را به صورت زیر تعریف می‌کنیم:

$$G(x) = \frac{dF(x)}{dx} \quad (6)$$

معادلات مومتومن محوری و شعاعی به ترتیب

جريان‌های ورودی سوخت و اکسیدکننده، دمای جريان‌های ورودی سوخت و اکسیدکننده، نرخ کرنش و فشار محیط می‌باشد.

انفصال این معادلات دیفرانسیلی مطابق روش‌های شناخته شده صورت می‌گیرد. ترم نفوذ با استفاده از طرح تفاضل مرکزی با خطای مرتبه‌ی دو در فاصله‌ی مش‌بندی منفصل می‌شود. برای ایجاد همگرایی بهتر در انفصال جمله جابجایی از طرح آپ‌ویند (upwind) که قادر به تشخیص جهت جریان است، استفاده می‌شود. دقت این طرح از مرتبه‌ی یک می‌باشد، اما از ایجاد نوسانات در طول حل روی مش‌بندی درشت جلوگیری می‌کند. حل معادلات با استفاده از OPPDIF[10] که یک کد عددی به زبان فرتون است، انجام گرفته است.

$$\frac{1}{C_p} \sum_k h_k \dot{\omega}_k = 0 \quad (13)$$

$$\rho u \frac{dY_k}{dx} + \frac{d}{dx} (\rho Y_k V_k) - \dot{\omega}_k W_k = 0 \quad (14)$$

که سرعت نفوذی  $V_k$  از رابطه‌ی زیر به دست می‌آید:

$$V_k = \frac{1}{X_k W} \sum_{j=1}^K W_j D_{kj} \frac{dX_j}{dx} - \frac{D_k^T}{\rho Y_k} \frac{1}{T} \frac{dT}{dx} \quad (15)$$

یا به شکل فرمولاسیون میانگین برای ترکیب داریم:

$$V_k = \frac{1}{X_k} D_{km} \frac{dX_k}{dx} - \frac{D_k^T}{\rho Y_k} \frac{1}{T} \frac{dT}{dx} \quad (16)$$

$$D_{km} = \frac{1-Y_k}{\sum_{j \neq k}^K X_j / D_{jk}} \quad (17)$$

و همچنانی  $W, X, D_k^T, D_{jk}, D_{km}$  به ترتیب ضرایب چند جزئی، میانگین ترکیب، دوتایی، نفوذ حرارتی، کسر مولی گونه‌ها و وزن مولکولی می‌باشند. شرایط مرزی برای جریان‌های سوخت (F) و اکسیدکننده (O) در نازل‌ها به شکل زیر هستند.

$$x=0 : F = \frac{\rho_F U_F}{2}, G = 0, T = T_F, \\ \rho u Y_k + \rho Y_k V_k = (\rho u Y_k)_F \quad (18)$$

$$x=L : F = \frac{\rho_O U_O}{2}, G = 0, T = T_O, \\ \rho u Y_k + \rho Y_k V_k = (\rho u Y_k)_O \quad (19)$$

شار جرمی کلی شامل نفوذ و جابجایی نسبت به کسر گونه‌ها، از شرایط مرزی ورودی مشخص می‌شود. معادلات دیفرانسیلی (۱۰، ۹، ۶، ۱۳، ۱۱، ۱۰ و ۱۴) و شرایط مرزی (۱۹ و ۱۸) یک مسئله‌ی مقدار مرزی را برای متغیرهای وابسته (Y<sub>k</sub>, F, G, H, T) تشکیل می‌دهند. پارامترهای مهم مرتبط با این مسئله سرعت

## نتایج

بررسی اعتبار نتایج. به منظور اعتبار سنجی، نتایج کار حاضر با مقادیر آزمایشگاهی [11] و نتایج عددی هو و آیساک [12] مقایسه شده است. به دلیل اینکه در نتایج آزمایشگاهی از گاز نیتروژن به عنوان رقیقساز استفاده شده، لذا فقط این قسمت از نتایج کار حاضر برای شرایط کار آزمایشگاهی [11] اجرا شده است (شکل ۲). به منظور ساده‌سازی فرض شده است، سرعت‌های جریان سوخت و اکسیدکننده با هم برابر باشند. لذا شعله‌ی ایجاد شده بر حسب اینکه مومتووم سوخت بیشتر باشد یا اکسیدکننده و همچنان سوخت تا چه حد توسط رقیق‌کننده تحت تأثیر قرار بگیرد، به سمت سوخت یا هوا جابجا می‌شود. فشار محیط ثابت و برابر ۱ اتمسفر است. دمای سمت اکسیدکننده ۳۰۰K، دمای سمت سوخت K ۱۰۰۰ و فاصله‌ی بین دهانه‌ی دو نازل نیز ۲cm در نظر گرفته می‌شود [11].

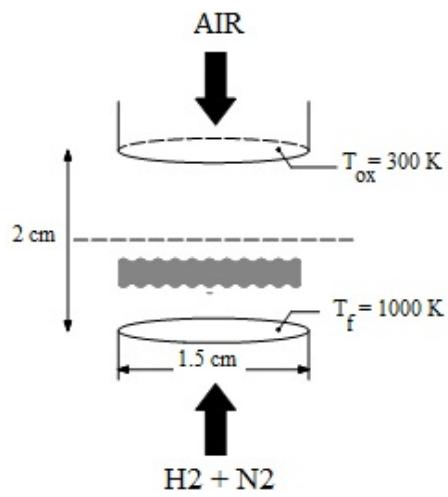
بنابراین ممکن است که اختلاف نتایج آزمایشگاهی با نتایج حل عددی در شکل‌های (۴ و ۳) واقعی نباشد.

اثر رقیق‌کننده بر احتراق  $H_2/O_2$  مدل‌سازی برای چهار شعله با درصد رقیق‌سازی ۰، ۲۰، ۴۰ و ۶۰ اجرا شده است. فشار محیط ثابت و برابر ۱ اتمسفر در نظر گرفته می‌شود و فاصله‌ی دهانه‌ی دو نازل ۲ cm است. دمای ورودی واکنش‌دهنده‌ها در دهانه‌ی نازل‌ها ۳۰۰ K در نظر گرفته شده است.

شکل (۵) منحنی‌های دما بر حسب فاصله‌ی دو نازل را در درصد‌های مختلف رقیق‌سازی با Ar نشان می‌دهد. افزایش درصد رقیق‌کننده‌ی Ar باعث کاهش غلاظت‌های گونه‌های حاضر در واکنش می‌شود و بنابراین شدت واکنش‌ها کاهش می‌یابد. با کاهش شدت واکنش‌ها، شدت واکنش کلی و در نتیجه ماکریم دما کاهش می‌یابد. رقیق‌کننده‌ی He نیز اثر مشابهی بر منحنی‌های دما دارد. برای مقایسه‌ی هم‌زمان اثر هر دو رقیق‌کننده بر دما، منحنی‌های ماکریم دما بر حسب درصد رقیق‌کننده رسم شده‌اند (شکل ۶). همان‌طور که مشاهده می‌شود منحنی مربوط به حالت رقیق‌سازی با He زیر منحنی مربوط به حالت رقیق‌سازی با Ar قرار گرفته است و این یعنی در یک درصد خاص رقیق‌سازی، رقیق‌کننده‌ی He توانایی بیشتری در کاهش دما دارد. افزایش ۶۰ درصد رقیق‌کننده He به سوخت، ماکریم دما را در حدود ۴۳۰ K کاهش می‌دهد.

با دقت در شکل (۵) درمی‌یابیم که با افزایش درصد رقیق‌کننده موقعیت ماکریم دما به سمت اکسیدکننده حرکت می‌کند و این یعنی سوخت بیشتر به سمت اکسیدکننده نفوذ می‌کند. شکل (۷) که کسر مولی سوخت ( $H_2$ ) بر حسب فاصله را نشان می‌دهد، مؤید این مطلب است.

با افزایش درصد رقیق‌کننده و نیز کاهش دما، واکنش‌های شکست بین زنجیره‌های اتم‌های سوخت



شکل ۲ مدل انجام شده برای اعتبارسنجی نتایج [11]

شکل (۳) مقایسه‌ی نتایج کار حاضر با نتایج آزمایشگاهی [11] و نتایج عددی هو و آیساک [12] را برای نرخ کرنش  $120 s^{-1}$  و کسر مولی هیدروژن ۰/۶۶۷ نشان می‌دهد. همان‌طور که مشاهده می‌شود، نتایج عددی کار حاضر که به وسیله‌ی OPPDIF انجام شده است و نتایج عددی هو و آیساک [12] با دقت بسیار خوبی بر همدیگر و نتایج هر دو کار نیز با دقت خوبی بر نتایج آزمایشگاهی [11] منطبق هستند.

مقایسه‌ی دوم برای حالتی است که در آن نرخ کرنش  $84/15 s^{-1}$  و کسر مولی هیدروژن ۰/۸۲۶۵ است (شکل ۴). حل عددی کار حاضر نسبت به حل عددی هو و آیساک [12] در این حالت، انطباق بهتری بر نتایج آزمایشگاهی دارد و ماکریم دما را با دقت بیشتر پیش‌بینی می‌کند. ماکریم دما در نتایج عددی بیشتر از نتایج آزمایشگاهی است.

دلیل اختلاف نتایج آزمایشگاهی با نتایج عددی که در حالت دوم (شکل ۴) بیشتر می‌باشد، چشم‌پوشی از تشعشع و نیز تفاوت در تعداد واکنش‌ها و گونه‌های در نظر گرفته شده برای ساز و کار شیمیایی است. هم‌چنین ضریب تصحیح تشعشع برای اندازه‌گیری دما در ترموموکوپیل‌های آزمایش در نظر گرفته نشده است.

شکل های (۱۳ و ۱۲) ماکریم دمای احتراق را بحسب نرخ کرنش و در دماهای مختلف جریان های ورودی نشان می دهند. در این حالت درصد در نظر گرفته شده برای رقیق سازی ۴۰ است. افزایش دمای ورودی با افزایش نرخ شکست زنجیره های بین اتم ها و تولید بیشتر رادیکال های فعال  $H\cdot$  و  $O\cdot$  و نیز افزایش شدت واکنش کلی باعث افزایش اشتعال پذیری می شود. همان طور که در شکل های (۱۳ و ۱۲) مشاهده می شود حد بالای خاموشی توسعه یافته، اما حد پایین خاموشی تا این سطح از افزایش دمای جریان های ورودی تغییری نکرده است و حدود اشتعال پذیری گسترده تر شده است.

شکل های (۱۵ و ۱۴) ماکریم دمای احتراق را بحسب نرخ کرنش و در فشارهای مختلف محیط نشان می دهند. در این حالت نیز ۴۰ درصد رقیق سازی در نظر گرفته شده است. نتایج نشان می دهند که با افزایش فشار، هر دو حد خاموشی توسعه می یابند و به این دلیل است که غلظت گونه های واکنش دهنده در فشارهای بالاتر بیشتر است که منجر به افزایش دما نیز می شود و این هر دو باعث افزایش شدت واکنش کلی می شوند. بنابراین، حدود اشتعال پذیری گسترده تر می گردد.

برای مقایسه ای اثر دو رقیق کننده بر حدود خاموشی، در ادامه منحنی های خاموشی مربوط به حضور هر دو رقیق کننده در یک شکل نمایش داده شده است. شکل (۱۶) که اثر رقیق کننده را بر حدود خاموشی بررسی می کند، نشان می دهد که رقیق کننده Ar نسبت به  $He$  حدود خاموشی را باریک تر می کند و در حضور این رقیق کننده، اشتعال در محدوده کم تری از نرخ کرنش ها میسر می شود.

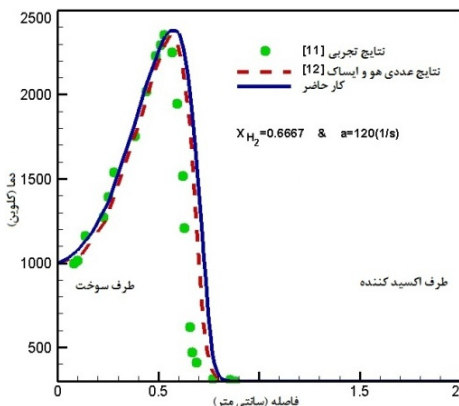
شکل های (۱۸ و ۱۷) به طور جداگانه اثر افزایش دمای ورودی و فشار بر حدود خاموشی را نشان می دهند. همان طور که پیشتر گفته شد، افزایش دمای

که منجر به تولید رادیکال  $H$  می شود کاهش می یابد و در نتیجه از مقدار این رادیکال کاسته می شود. در نتیجه سوخت کم تر تحت تأثیر رادیکال  $H$  قرار گرفته و می تواند در سمت اکسید کننده نفوذ بیشتری داشته باشد. شکل (۸) منحنی کسر مولی رادیکال  $H$  را در حضور رقیق کننده نشان می دهد.

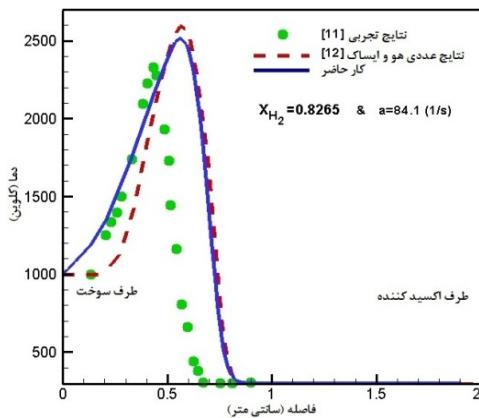
منحنی کسر مولی رادیکال  $OH$  در شکل (۹) نشان داده شده است. تولید این گونه نیز همانند رادیکال  $H$  با افزایش درصد رقیق کننده کاهش می یابد. کاهش غلظت بر اثر رقیق سازی که منجر به کاهش شدت واکنش ها می شود علت اصلی کاهش تولید دو رادیکال  $H$  و  $OH$  است. کاهش تولید این دو رادیکال فعال که به نوعی پیش برندهای واکنش کلی هستند، سهم بسزایی در کاهش دما دارد.

اثر رقیق کننده بر حدود خاموشی  $H_2/O_2$  افزودن گونه های ساکن و غیر فعال و نیز رقیق کننده ها باعث تغییر خواص گرمایی و نفوذی سوخت یا اکسید کننده می شود و در نتیجه حدود خاموشی شعله ای نفوذی تحت تأثیر قرار می گیرد. در اینجا اثر سه پارامتر درصد رقیق کننده، فشار محیط و دمای جریان های ورودی بر حدود خاموشی جریان مخالف نفوذی  $H_2/O_2$  بررسی می شود.

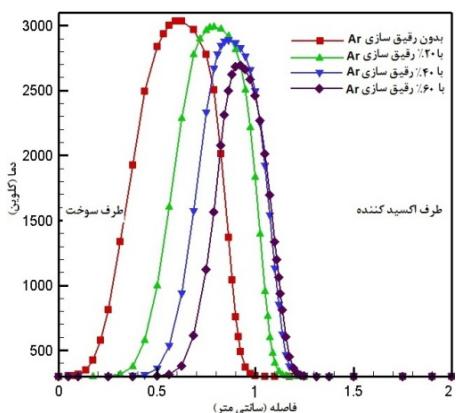
شکل های (۱۱ و ۱۰) ماکریم دمای شعله ای جریان مخالف نفوذی  $H_2/O_2$  در سطوح مختلف رقیق سازی با  $Ar$  و  $He$  را بحسب نرخ کرنش نشان می دهند. با افزایش سطح رقیق کننده، غلظت گونه ها کم می شود و شدت واکنش کلی کاهش می یابد و در نتیجه دمای شعله کم و اشتعال پذیری شدت های کرنش باریک تر می شود. به عبارتی هم حد بالای خاموشی و هم حد پایین خاموشی کاهش یافته و محدوده ای اشتعال پذیری تقلیل می یابد. حد بالای خاموشی نسبت به حد پایین خاموشی بیشتر تحت تأثیر رقیق کننده قرار می گیرد.



شکل ۳ منحنی دما بر حسب فاصله در احتراق جریان مخالف نفوذی هیدروژن برای حالت اول



شکل ۴ منحنی دما بر حسب فاصله در احتراق جریان مخالف نفوذی هیدروژن برای حالت دوم



شکل ۵ منحنی های دما بر حسب فاصله در درصد های مختلف رقیق سازی با Ar

جریان های ورودی و فشار، حدود خاموشی را افزایش می دهند. با دقت در شکل های ۱۸ و ۱۷ مشاهده می شود که رقیق کننده He توانایی بیشتری در توسعه حدود خاموشی دارد.

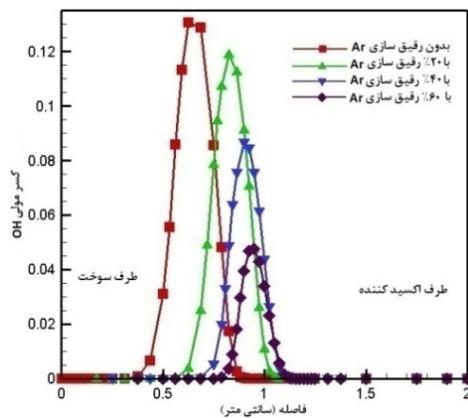
### نتیجه گیری کلی

در این تحقیق مدل سازی شعله های جریان مخالف نفوذی هیدروژن در حضور رقیق سازهای Ar و He انجام شد. شبیه سازی ها برای چهار شعله با درصد های رقیق سازی ۰، ۲۰، ۴۰ و ۶۰ اجرا گردید.

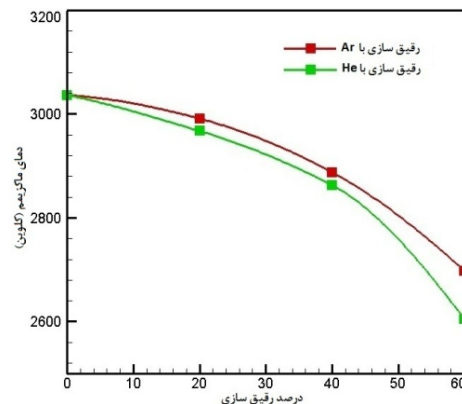
برای بررسی اعتبار نتایج، منحنی های دمای مربوط به احتراق هیدروژن رقیق شده توسط نیتروژن، با نتایج عددی و آزمایشگاهی سایر محققان مقایسه شد.

رقیق کننده ها با کاهش غلظت گونه ها منجر به کاهش شدت واکنش ها و در نتیجه کاهش شدت واکنش کلی می شوند که این به کاهش ماکریم دما می انجامد. اثر رقیق سازی و در کنار آن کاهش دما باعث کاهش واکنش های شکست بین زنجیره های اتم های سوخت می شود و در نتیجه تولید رادیکال های H فعل H و OH کاهش می یابد. با کاهش رادیکال های H و OH، سوخت کمتر تحت تأثیر این گونه ها قرار گرفته و بیشتر در سمت اکسید کننده نفوذ می کند.

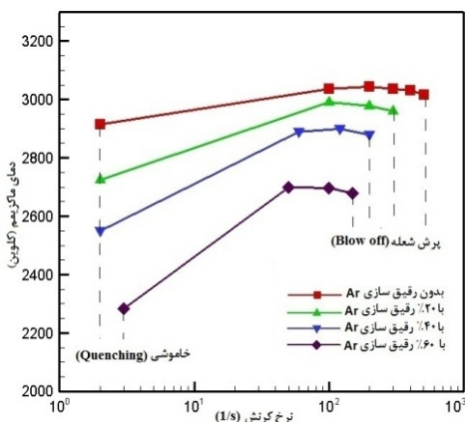
افزایش رقیق کننده به سوخت با کاهش شدت واکنش کلی باعث کوچک شدن حدود اشتعال پذیری می شود که رقیق کننده Ar نسبت به He حدود اشتعال پذیری را باریک تر می کند. بر عکس، افزایش دمای جریان های ورودی و فشار محیط، به طور جداگانه، از طریق افزایش شدت واکنش ها، حدود اشتعال پذیری را گستردگی می کند که در این مورد رقیق کننده Ar نسبت به He توانایی بیشتری دارد.



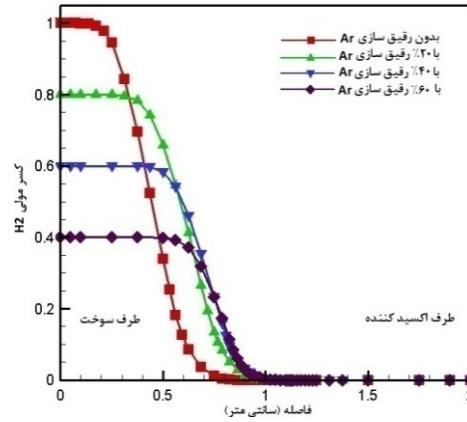
شکل ۹ منحنی های کسر مولی OH بر حسب فاصله در درصد های مختلف رقیق سازی با Ar



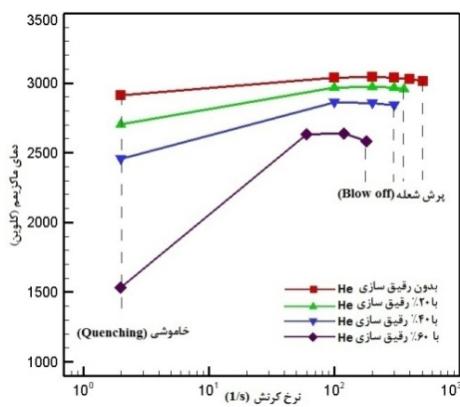
شکل ۶ منحنی های دمای ماکریتم بر حسب درصد رقیق سازی مختلف با Ar و He



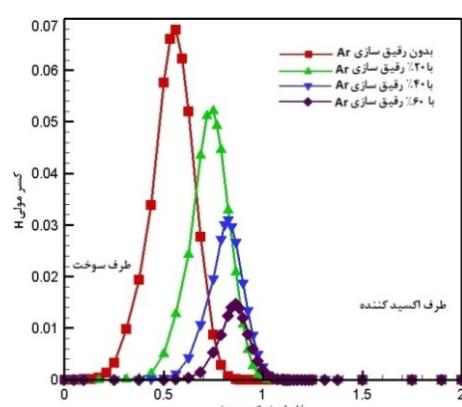
شکل ۱۰ دمای ماکریتم بر حسب نرخ کرنش در درصد های مختلف رقیق سازی با Ar ( $P=1\text{atm}$ ,  $T_{inlet}=300\text{K}$ )



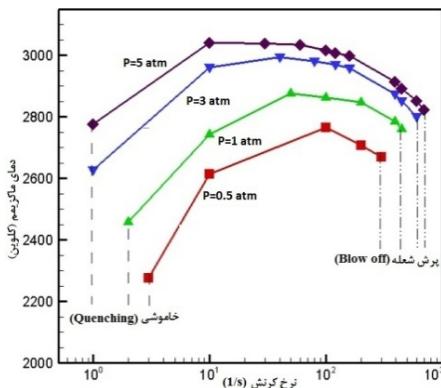
شکل ۷ منحنی های کسر مولی H<sub>2</sub> بر حسب فاصله در درصد های مختلف رقیق سازی با Ar



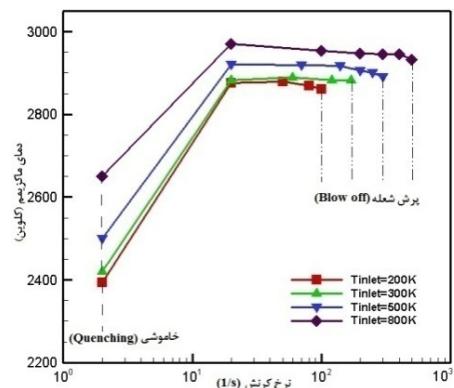
شکل ۱۱ دمای ماکریتم بر حسب نرخ کرنش در درصد های مختلف رقیق سازی با He ( $P=1\text{atm}$ ,  $T_{inlet}=300\text{K}$ )



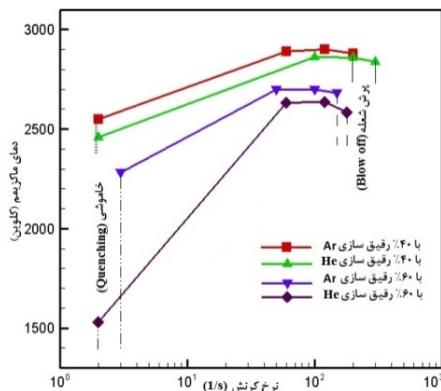
شکل ۸ منحنی های کسر مولی H بر حسب فاصله در درصد های مختلف رقیق سازی با Ar



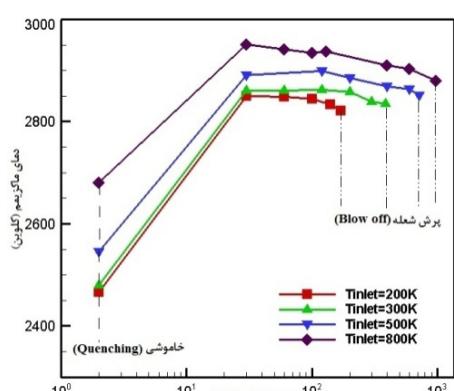
شکل ۱۵ دمای ماکریم بر حسب نرخ کرنش در فشارهای مختلف محیط ( $T_{inlet}=300K$ , Dilution=40% He)



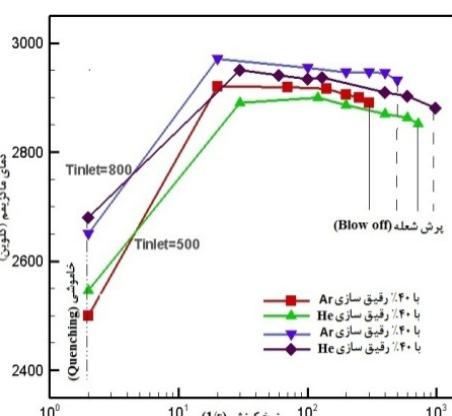
شکل ۱۲ دمای ماکریم بر حسب نرخ کرنش در دماهای مختلف جریانهای ورودی ( $P=1atm$ , Dilution=40%Ar)



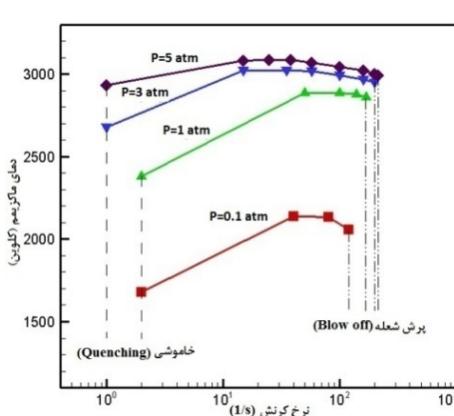
شکل ۱۶ دمای ماکریم بر حسب نرخ کرنش در درصدهای مختلف رقیق‌سازی با Ar و He ( $P=1atm$ ,  $T_{inlet}=300K$ )



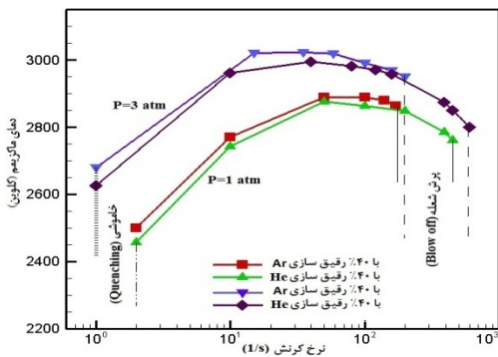
شکل ۱۳ دمای ماکریم بر حسب نرخ کرنش در دماهای مختلف جریانهای ورودی ( $P=1atm$ , Dilution=40% He)



شکل ۱۷ دمای ماکریم بر حسب نرخ کرنش در دماهای مختلف ( $p=1atm$ , Dilution=40% Ar & 40% He)



شکل ۱۴ دمای ماکریم بر حسب نرخ کرنش در فشارهای مختلف محیط ( $T_{inlet}=300K$ , Dilution=40% Ar)



شکل ۱۸ دمای ماکریم بر حسب نرخ کرنش در فشارهای مختلف محیط  
(T<sub>inlet</sub>=300K, Dilution=40% Ar & 40% He)

## مراجع

- Ribert, G., Zong, N., Yang, V., Laetitia, P., Darabiha, N. and Candel, S., "Counterflow diffusion flames of general fluids: oxygen/hydrogen mixtures", *Combustion and Flame*, 154, pp. 319–30, (2008).
- Park, J., Lee, K. and Lee, E., "Effects of CO<sub>2</sub> addition on flame structure in counterflow diffusion flame of H<sub>2</sub>/CO<sub>2</sub>/N<sub>2</sub> fuel", *International Journal of Energy Research*, 25, pp. 469–85, (2001).
- Shih, H.Y., "Computed extinction limits and flame structures of H<sub>2</sub>/O<sub>2</sub> counterflow diffusion flames with CO<sub>2</sub> dilution", *International Journal of Hydrogen Energy*, 34, pp. 4005–4013, (2009).
- Jeong, P., Kang, T.K., June, S.P., Jeong, S.K. and Sungcho, K., "A Study on H<sub>2</sub>-Air Counterflow Flames in Highly Preheated Air Diluted with CO<sub>2</sub>", *Energy & Fuels*, 19, pp. 2254-2260, (2005).
- Maruta, K., Muso, K., Takeda, K. and Niioka, T., "Reaction Zone Structure in Flameless Combustion", *Proc. Combust. Inst.*, 28, pp. 2117-2123, (2000).
- Park, J., Choi, J. W., Kim, S. G., Kim, K. T., Keel, S. I. and Noh, D. S., "Numerical study on steam-added mild combustion", *Int. J. Energy Res.*, 28, pp. 1197-1212, (2004).
- [http://www.engr.colostate.edu/~marchese/comb-ustion10/chemkin.html/2012](http://www.engr.colostate.edu/~marchese/comb-ustion10/chemkin.html).
- Kee R. J. and Dixon L., "A Computational Model of the Structure and Extinction of Strained, Opposed Flow, Premixed Methane-Air Flames", *Twenty Second Symposium (International) on Combustion*, The Combustion Institute, Pittsburgh., pp. 1479-1494, (1988).
- Seshadri, K. and Williams, F. A., "Laminar flow between parallel plates with injection of a reactant at high Reynolds number", *Int. J. Heat Mass Transfer*, 21, pp. 251–253, (1978).
- Lutz, A. E., Kee, R. I., Grccar, J. F. and Rupley, F. M., "OPPDIF: A Fortran Program for Computing Opposed-Flow Diffusion Flames", *Sandia National Laboratories Report SAND*, pp. 96-8243, (1997).
- Pellett, G. L., Northam, G. B., Guerra, R. and Wilson, L.G., "Opposed Jet Burner Studies of Silane-Methane, Silane-Hydrogen, and Hydrogen Diffusion Flames with Air", *CPIA Publication*; 457:Vol. 1, pp. 391-404, (1986).
- Ho, Y. H. and Isaac K. M., "Analysis of Opposed Jet Hydrogen-Air Counter Flow Diffusion Flame", Technical Memorandum Mae-TM-25, Prepared Under NASA Langley Research Center Grant NAG; pp. 1-861, (1989).